

Universitat Autònoma de Barcelona

Facultat de Ciències



## SEMINARI 2: FLUIDS

*Autors:*

Gerard Lahuerta & Ona Sánchez & Andrea González

1601350 — 1601181 — 1603921

29 d'Abril del 2022

# Índex

<b>1</b>	<b>Exercici 2.4.13</b>	<b>3</b>
<b>2</b>	<b>Exercici 2.6.17 b)</b>	<b>6</b>
<b>3</b>	<b>Exercici 2.6.18</b>	<b>8</b>
<b>4</b>	<b>Codis</b>	<b>10</b>
4.1	Exercici 2.4.13 . . . . .	10
4.2	Exercici 2.6.17 b) . . . . .	10
4.3	Exercici 2.6.18 . . . . .	11

## 1 Exercici 2.4.13

Modifiquem el flux amb potencial donat per  $f(z) = \log(z + 2)$  que és una font sortint des del punt ( $z = -2$ ) (vist en un exemple/exercici anterior). Per això considerem la modificació donada pel potencial:

$$\Phi(z) = f(z) + \overline{f\left(\frac{1}{\bar{z}}\right)} = \log(z + 2) + \log\left(\frac{1}{\bar{z}} + 2\right)$$

(a) **Descomposar  $\Phi(z)$  en fluxos coneguts.**

$$\begin{aligned}\Phi(z) &= f(z) + \overline{f\left(\frac{1}{\bar{z}}\right)} \\ &= \log(z + 2) + \log\left(\frac{1}{\bar{z}} + 2\right) \\ &= \log(z + 2) + \log\left(\frac{1}{z} + 2\right) \\ &= \log(z + 2) + \log\left(\frac{1 + 2z}{z}\right) \\ &= \log(z + 2) + \log(1 + 2z) - \log(z) \\ &= \log(z + 2) + \log\left(2 \cdot \left(\frac{1}{2} + z\right)\right) - \log(z) \\ &= \log(z + 2) + \log\left(\frac{1}{2} + z\right) - \log(z) + \log(2)\end{aligned}$$

(b) **Calcular  $\Phi'(z)$  i confirmar el que es demostra a l'apartat anterior.**

- Càlcul de la derivada de  $\Phi$ :

$$\begin{aligned}\Phi'(z) &= \left(f(z) + \overline{f\left(\frac{1}{\bar{z}}\right)}\right)' \\ &= \left(\log(z + 2) + \log\left(\frac{1}{2} + z\right) - \log(z) + \log(2)\right)' \\ &= \frac{1}{z + 2} + \frac{1}{\frac{1}{2} + z} - \frac{1}{z}\end{aligned}$$

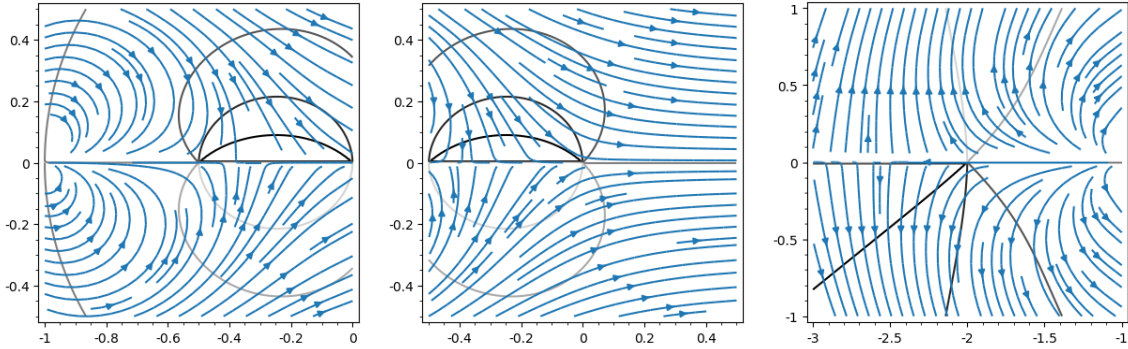
- Comprovació de l'apartat anterior:

Usant l'expressió obtingut a l'apartat (a):  $\log(z + 2) + \log\left(\frac{1}{2} + z\right) - \log(z) + \log(2)$ , trobem 3 punts singulars situats a:  $z = -2$ ,  $z = -\frac{1}{2}$  i  $z = 0$ .

Sabem que per  $\Phi(z) = k \cdot \log(z - a)$ , quan  $k > 0$  es forma una *font*, i quan  $k < 0$  una *pica*.

Estudiem els diversos punts singulars:

- (a)  $z = -\frac{1}{2}$ : S'obté de  $\log\left(\frac{1}{2} + z\right)$ . En aquest cas,  $k = 1 \rightarrow k > 0$ , per tant en el  $-\frac{1}{2}$  es troba una *font*.
- (b)  $z = 0$ : S'obté de  $-\log(z)$ . En aquest cas,  $k = -1 \rightarrow k < 0$ , per tant en el 0 es troba una *pica*.
- (c)  $z = -2$ : S'obté de  $\log(z + 2)$ . En aquest cas,  $k = 1 \rightarrow k > 0$ , per tant en el  $-2$  es troba una *font*.



- (c) Veure que per  $z$  amb  $|z|$  molt gran resulta  $\Phi'(z) \approx \frac{1}{z+2}$  i que llavors lluny de  $z = -2$  el flux associat a  $\Phi'(z)$  és com una font sortint de  $z = -2$ .

$$\begin{aligned}
 \lim_{|z| \rightarrow \infty} \Phi(z) &= \lim_{|z| \rightarrow \infty} f(z) + \overline{f\left(\frac{1}{\bar{z}}\right)} \\
 &= \lim_{|z| \rightarrow \infty} \log(z+2) + \overline{\log\left(\frac{1}{\bar{z}} + 2\right)} \\
 &= \lim_{|z| \rightarrow \infty} \log(z+2) + \lim_{|z| \rightarrow \infty} \log\left(\frac{z}{|z|^2} + 2\right) \\
 &= \lim_{|z| \rightarrow \infty} \log(z+2) + \log(2)
 \end{aligned}$$

Per tant,

$$\begin{aligned}
 \lim_{|z| \rightarrow \infty} \Phi'(z) &\approx \lim_{|z| \rightarrow \infty} (\log(z+2) + \log(2))' \\
 &= \lim_{|z| \rightarrow \infty} \frac{1}{z+2}
 \end{aligned}$$

És a dir, veiem que com es deia a l'enunciat:

$$\Phi'(z) \approx \frac{1}{z+2} \text{ quan } z \text{ és molt gran.}$$

- (d) Veure amb un gràfic com eviten el disc unitari les línies de flux (feu servir `contour_plot` i `streamline_plot`).

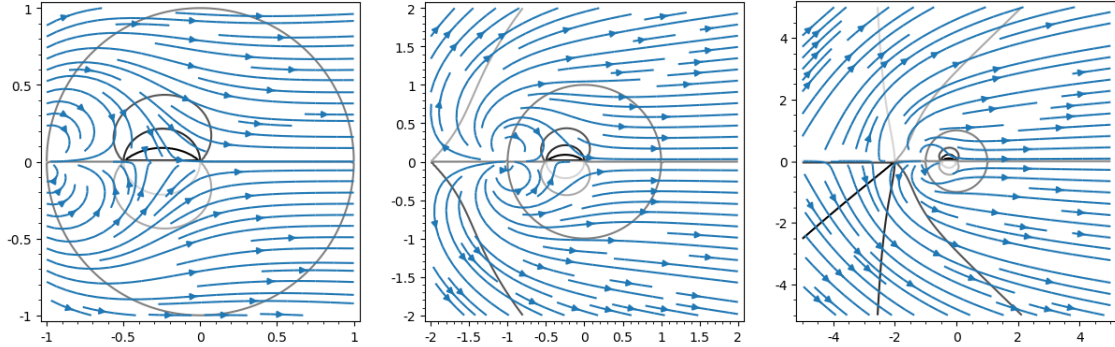


Figura 1: `contour_plot` i `streamline_plot` de la funció

A les imatges adjuntades es poden observar les línies de flux de la funció  $\Phi(z) = \log(z + 2) + \log\left(\frac{1}{2} + z\right) - \log(z) + \log(2)$ , amb diferents proximitats al disc unitari.

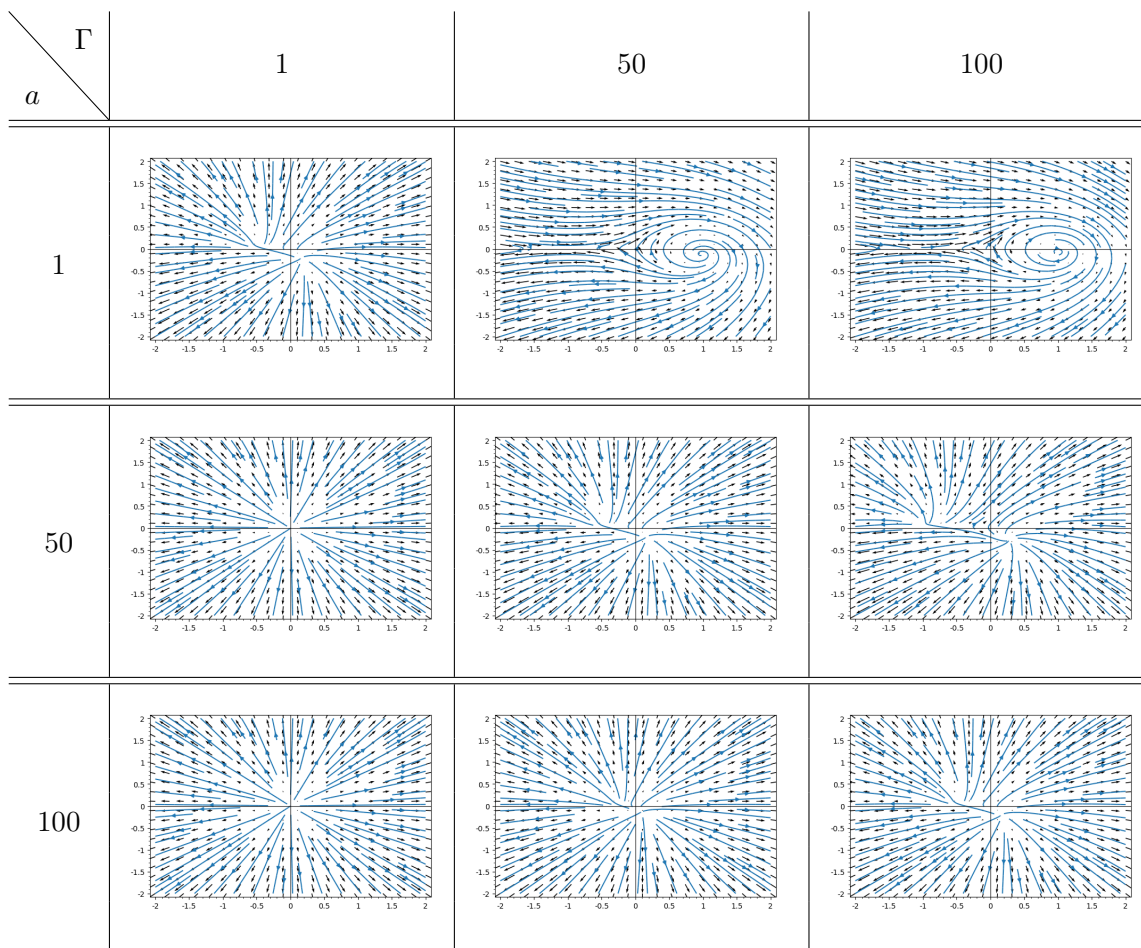
Com es pot observar, les línies de flux que surten de la *font* situada al  $-2$  i al  $-\frac{1}{2}$  canvien de direcció, curvant-se en apropar-se al disc. Es pot veure que les línies sortints del  $-2$  intenten seguir la vora del disc.

Per veure el codi utilitzat per generar les imatges, anar a l'apartat [4.1](#).

## 2 Exercici 2.6.17 b)

(b) Discutir el moviment del fluid amb potencial complex igual a:

$$\Phi(z) = a \cdot z + \frac{\Gamma}{2\pi i} \cdot \log(z) \text{ on } a, \Gamma \in \mathbb{R}^+$$



Taula 1: Gràfics de la funció per a diversos valors dels paràmetres  $a$  i  $\Gamma$

Per l'enunciat,  $\Gamma > 0$ , per tant sabem amb certesa que hi ha una *pica*.

Observem que quan el valor d' $a$  és major que  $\Gamma$ , els punts on es genera la *font* i la *pica* són molt propers (es mostra als gràfics només la *font* ja que predomina sobre la *pica*).

En canvi, quan els valors d' $a$  i  $\Gamma$  son iguals, els punts on s'originen la *font* i la *pica* es separen, fent que les línies de flux de la *font* es curvin quan a causa de la *pica*, sent la curvatura més notoria a mida que aquesta és més propera a la *pica*.

Així doncs, veiem que quan augmenta el valor de  $\Gamma$  (amb  $\Gamma > a$ ) els punts on s'originen la *font* i la *pica* se separen, i els punts que les generen són molt diferenciats (per exemple en el cas  $a = 50, \Gamma = 100$ ).

Però, quan el valor de  $\Gamma$  és notablement més gran que el de  $a$ , ( exemples  $a = 1$  i  $\Gamma = 50, 100$ ), la *pica* i la *font* són més distants. A més, tant la *font* com la *pica* adquireixen més "força" fent que mostrant sempre el mateix interval  $(x_{min}, x_{max})$ ,  $(y_{min}, y_{max})$  s'observi només la *pica* i no la *font* (ja que la *font* no es genera dins d'aquest interval).

Per veure el codi utilitzat per generar les imatges de la taula llegir l'apartat [4.2](#).

### 3 Exercici 2.6.18

Discutir el moviment del fluid amb potencial complex:

$$\Phi(z) = V_0 \cdot \left(z + \frac{R^2}{z}\right) + \frac{\Gamma}{2\pi i} \cdot \log(z) \text{ on } \Gamma, V_0, R \in \mathbb{R}^+$$

Particularment estudeu els casos  $\Gamma < 4\pi RV_0$ ,  $\Gamma > 4\pi RV_0$  i  $\Gamma = 4\pi RV_0$ . Dibuixeu exemples de cadascun dels casos.

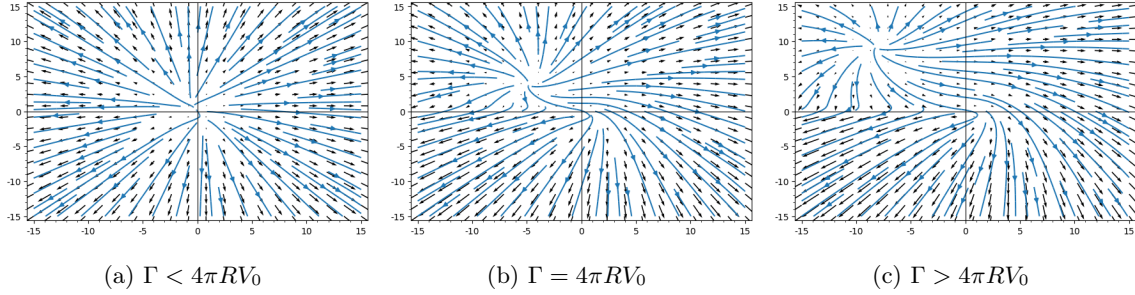


Figura 2: Representacions dels fluxos de corrent de la funció per a diversos valors de  $\Gamma$

Per generar les imatges s'han utilitzat els valors  $R = 1$  i  $V_0 = 1$ .

Sabem que la primera part de l'expressió  $\Phi(z)$ ,  $V_0 \cdot \left(z + \frac{R^2}{z}\right)$  genera una *font*, perquè es tracta d'una funció lineal.

En canvi, a la segona part de l'expressió  $\frac{\Gamma}{2\pi i} \cdot \log(z)$ , veiem que la part real en aquest cas val 0, i la part imaginària  $Q = \frac{\Gamma}{2\pi i} = \frac{-\Gamma \cdot i}{2\pi}$ . En ser  $Q < 0$ , es forma una *pica*.

Arrel d'això, com sabem que  $Q$  va variant al llarg dels eixos, deduïm que en els tres casos a estudiar hi haurà tant una *font* com una *pica*.

(a) S'ha utilitzat el valor  $\Gamma = 4\pi - 10$ .

Els punts que generen la *pica* i la *font* són molt propers, de manera que podem observar les línies de flux de la *font*, que en apropar-se al 0, prop de la *pica*, es curven.

(b) S'ha utilitzat el valor  $\Gamma = 4\pi$ .

Els punts que generen la *pica* i la *font* estan relativament allunyats l'un de l'altre. De manera que podem observar com les línies de flux de la *font*, a mesura que s'acosten més a la *pica*, augmenten la seva corbatura cap a la *pica*.

(c) S'ha utilitzat el valor  $\Gamma = 4\pi + 10$ .

Com es pot veure a les diverses imatges, en augmentar el valor de  $\Gamma$ , els punts que generen la *pica* i la *font* estan significativament allunyats l'un de l'altre. Prop del 0 s'hi troba la *pica*,



mentre que la *font* queda situada al segon quadrant. Això provoca que les línies sortints de la *pica* canviïn de direcció en apropar-se al 0.

Per veure el codi utilitzat per generar les imatges, anar a l'apartat [4.3](#).

## 4 Codis

### 4.1 Exercici 2.4.13

---

```
def f(x,y):
    return imag(log(x+I*y+2)+log(1/2+(x+I*y))-log(x+I*y)+log(2))
def f2(x,y):
    return real(log(x+I*y+2)+log(1/2+(x+I*y))-log(x+I*y)+log(2))

var('x','y')

CP = contour_plot(f, (-1,0), (-0.5,0.5), fill=False)
SP = streamline_plot((f2,f), (-1,0), (-0.5,0.5))
show(CP+SP)

CP = contour_plot(f, (-0.5,0.5), (-0.5,0.5), fill=False)
SP = streamline_plot((f2,f), (-0.5,0.5), (-0.5,0.5))
show(CP+SP)

CP = contour_plot(f, (-3,-1), (-1,1), fill=False)
SP = streamline_plot((f2,f), (-3,-1), (-1,1))
show(CP+SP)
```

---

### 4.2 Exercici 2.6.17 b)

---

```
def fr(x,y):
    return real(a*(x+I*y) + (T/(2*pi*I))*log(x+I*y))
def fi(x,y):
    return imag(a*(x+I*y) + (T/(2*pi*I))*log(x+I*y))

var('x','y')
A = 2

for a in (1,50, 100):
    for T in (1,50, 100):
        CP = plot_vector_field((fr,fi), (-A,A), (-A,A))
        SP = streamline_plot((fr,fi), (-A,A), (-A,A))
        show(CP+SP)
```

---

### 4.3 Exercici 2.6.18

---

```
def g(x,y):
    return real(V0*((x+I*y)+(R^2)/(x+I*y))+(T/(2*pi*I))*log(x+I*y))
def g2(x,y):
    return imag(V0*((x+I*y)+(R^2)/(x+I*y))+(T/(2*pi*I))*log(x+I*y))

var('x','y')
V0=1
R=1

for T in (4*pi*R*V0-10, 4*pi*R*V0, 4*pi*R*V0+10):
    CP = plot_vector_field((g,g2), (-15,15), (-15,15))
    SP = streamline_plot((g,g2), (-15,15), (-15,15))
    show(CP*SP)
```

---